

Днужт

ВСЕСОЮЗНЫЙ НАУЧНО-ИССЛЕДОВАТЕЛЬСКИЙ ИНСТИТУТ  
ЖЕЛЕЗНОДОРОЖНОГО ТРАНСПОРТА

инж. С. В. Дувадли

625.21  
д. 79

АНАЛИТИЧЕСКОЕ ИССЛЕДОВАНИЕ НАПРЯЖЕНОГО  
СОСТОЯНИЯ ДИСКА ВАГОННОГО ЦЕЛЛОФАНАГО  
КОЛЕСА

(Диссертация на соискание ученой степени  
кандидата технических наук)

Г. Г. Ген.



Научный руководитель  
д-р. техн. наук проф. А. А. ПОПОВ

А. А. Попов

Москва - 1960 г.

№ 381  
ИНИИ-МПС

Документ

## В В Е Д Е Н И Е

Директивами XXI съезда КПСС предусмотрено увеличить за семилетку грузооборот железнодорожного транспорта на 39-43%. Одним из решавших мероприятий по решению этой задачи является повышение скорости движения поездов, что обеспечивается внедрением на железнодорожном транспорте более экономичной и мощнной электровозной и тепловозной тяги. При этом особое значение приобретают вопросы динамического воздействия подвижного состава и пути, в связи с чем создание облегченных колесных пар следует рассматривать не только как средство экономии металла, снижения веса вагона, но и как важное мероприятие по улучшению динамических характеристик подвижного состава.

В последние годы Всесоюзный научно-исследовательский институт железнодорожного транспорта с участием ряда других научно-исследовательских организаций, металлургических и вагоностроительных заводов систематически проводят теоретические и опытные исследования по созданию облегченных колесных пар для вагонов. При решении вопроса о рациональной форме и размерах облегченного вагонного колеса важное значение имеют исследования, посвященные изучению напряженного состояния диска колеса.

Еще в 1902 году Н.Е. Жуковский рассмотрел задачу о прочности велосипедного колеса [12] и добился замечательного решения этой задачи, рассмотрев вместо обода, подкрепленного спицами, обод, покоящийся на упругом основании.

ДНУЖТ

Первые теоретические исследования, посвященные прочности элементов вагонных колесных пар, относятся к 30-м годам. В 1932 году вышла в свет работа А.А. Попова [26], посвященная теоретическому исследованию деформаций спицевых вагонных колес. В этой работе дано также приближенное решение задачи о влиянии диска и обода на величину контактных давлений напрессовки, основанное на замене конической части диска круглой кольцевой пластиной постоянной толщины. В работе Р.Эзеркиана и А.А.Попова [34] содержится интересная дискуссия проф. С.П. Тимошенко и Р.Эзеркиана по методике расчета спицевого колеса, предложенного последним.

В этой дискуссии проф. С.П.Тимошенко подчеркивает, в частности, что предположение об абсолютно жестком ободе приводит к неправильному /косинусциальному/ распределению усилий в спицах.

В дальнейшем появился еще ряд работ [15], [16] и другие, посвященные расчету спицевых колес.

Расчету колеса с плоским диском посвящена докторская диссертация Б.В.Дидова [10]. В этой работе обод рассматривается как кольцо /замкнутый кривой брус, который рассчитывается по гипотезе с сохранением плоских сечений/, покоящееся на упругом основании – диск постоянной толщины, защемленный в абсолютно жесткую ступицу. Стремясь упростить решение задачи, автор предлагает ряд упрощений, которые вряд ли представляют практический интерес, если учесть результаты, полученные Д.В. Вайнбергом [3] и изложенные нами ниже во второй главе методику расчета круглых пластин.

ДнУЖТ

В работе /3/ дано несколько иное решение задачи с расчете колеса с плоским диском. Основное отличие заключается в том, что сбод рассматривается не как кольцо /замкнутый кривой брус/, а как круглая кольцевая пластина. Приемлемости такой схемы расчета подтверждается сравнением величин напряжений, вычисленных теоретически, с величинами напряжений, определенных экспериментально / см./3/ /.

Однако, вопрос о расчете цельнокатаного колеса с неплоским диском /например, коническим/ оставался открытым. Более того представление о диске как о круглой кольцевой пластине постоянной толщины далеко не отражает фактическую форму диска. Конструктивно диск всегда выполняется переменной толщиной, при этом переход от диска к сбоду, либо к ступице происходит плавно. Пренебрежение переменным характером толщины диска, наличием переходных участков делает расчет очень схематичным. Не удивительно, поэтому, что в 1957 году авторы работы /5/ Г.И.Виноградов, В.Н.Гудков и И.В.Наумов писали: "До настоящего времени не существует методов теоретического расчета напряженного состояния цельнокатанных колес в целом" (см. /5/ стр.58/).

В 1960 году была опубликована статья /11/, посвященная расчету цельнокатаного колеса с коническим диском, где краткое изложение методики происходило с сравнением величин определенных теоретическим и экспериментальным путями.

О существовании каких-либо теоретических исследований напряженного состояния диска колеса за рубежом нам не известно. Что касается экспериментального исследования напряжений

документ

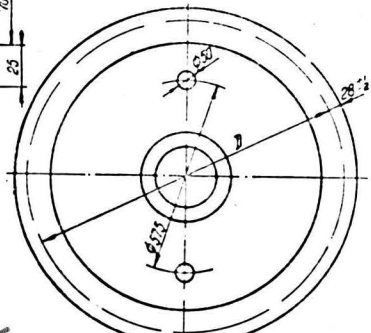
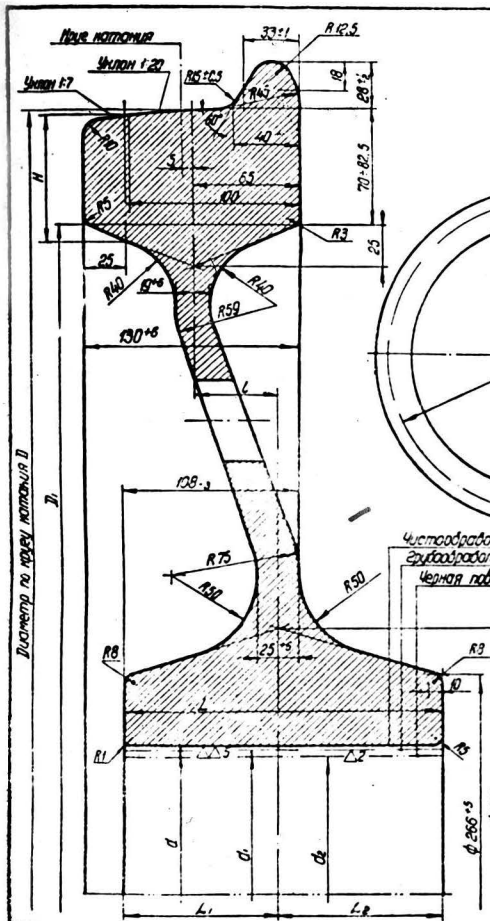
в различных частях колесной пары, то такие работы проводились и проводятся как у нас, так и за рубежом, и сведены частично в литературе [5], [23], [43], [44]. Смотри также статьи [35], [36], [37]. В статье [35] содержится также обзор некоторых экспериментальных работ.

Рассматриваемый вопрос является объемной задачей теории упругости. Сложность формы колеса и сосредоточенный характер сил, действующих на него, приводят к неспредолимым математическим трудностям при точном решении задачи. Следует отметить, что даже такой частный случай этой задачи, как определение напряжений в диске от напрессовки колеса на ось, пока не решена точно. Эти трудности, связанные, в первую очередь, ссложностью формы колеса, явились причиной того, что так долго не разрабатывалась методика расчета колеса с коническим диском. Приближенное решение, предложенное в [11] и рассматриваемое ниже, является первой попыткой аналитического определения напряжений в диске цельнокатаного колеса с коническим диском (рис. I).

Рассматривая задачу об определении напряжений в диске колеса под действием сосредоточенных сил, приложенных на его ободе, автор предлагает применить для решения этой задачи теорию тонких оболочек.

Согласно расчетной схемы, рассматриваемой во второй главе, задача об определении напряжений в диске сводится к расчету круглых кольцевых пластин и круговой конической оболочки переменной толщины при несимметричном краевом нагружении.

ДнУЖТ



№ п/п	Тип вагона	На вагон	
		Кол-во	Вес в кг.
1	2 <sup>х</sup> оснвн <sup>и</sup> вагон	4	см.
2	4 <sup>х</sup> оснвн <sup>и</sup> вагон	8	табл.

2 осталось

### *Техническое требование.*

Цельнометаллическое колесо изготавливать по ТУ ГОСТ 8362-52 и  
ост/нкпп 8795/706

## Примечания.

1. Цеплюмокоточные колеса в запас изготавливаются с грубообработанной внутренностью подверхностью ступицы.
  2. При заказе колес для осей с диаметром подсту碌чной части 175-182 мм необработанное (карное) отверстие ступицы должно иметь диаметр 153 mm, с грубообработанное - 169 mm.
  3. Колеса мы удаляем предварительно по своим размерам и далее как настающим чертежем должны быть обработаны.

№	Наименование	D	D <sub>1</sub>	d	d <sub>1</sub>	d <sub>2</sub>	L	L <sub>1</sub>	L <sub>2</sub>	L	Bac g at
1	Цельнометаллическая φ 850 доля осу I	4050**	910-п	155	150-2	145	200 <sup>±2</sup>	97 <sup>±5</sup>	103	54	510
2	Цельнометаллическая φ 850 доля осу II	1050**	910-п	165	160-2	155	200 <sup>±2</sup>	97 <sup>±5</sup>	103	54	506
3	Цельнометаллическая φ 850 доля осу III	4050**	910-п	182	177-2	172	200 <sup>±2</sup>	97 <sup>±5</sup>	103	54	500
4	Цельнометаллическая φ 950 доля осу III	950**	810-п	182	177-2	172	190 <sup>±2</sup>	92 <sup>±5</sup>	98	49	402

Puc. 1.

Как отмечает С.И.Тимченко в своей монографии [31], первое исследование круглой пластины переменной толщины было выполнено Хольцером [39]. О.Пихлер в своей докторской диссертации "Изгиб радиальных симметричных пластин переменной толщины" [41] рассматривал случай диска, толщина которого меняется по закону  $h = Ae^{-\beta r^2}$ , где  $A$  и  $\beta$  постоянные, а  $r$  расстояние от оси вращения. Однако эти работы относятся к случаю осесимметричной задачи изгиба круглой пластины.

Расчету круглых пластин переменной толщины, находящихся под действием несимметричной нагрузки, посвящены работы [4], [13], [32], где рассматривается расчет диска гиперболического профиля. Авторы этих работ Л.В.Вайнберг, Б.З.Итенберг, Э.С.Уманский получили решение рассматриваемой ими задачи в рядах Фурье. Однако решение в форме, указанной в этих работах не приспособлено для применения метода начальных параметров, ибо для построения решения, соответствующего данным начальным условиям, приходится решать систему четырех линейных алгебраических уравнений с четырьмя неизвестными.

В работе А.Н.Лурье [18] дано решение задачи об изгибе пластины постоянной толщины методами спиралевского исчисления. Ниже во второй главе читатель найдет решение задачи с расчете круглых пластин переменной толщины методами спиралевского исчисления.

Расчет круговой конической оболочки представляет значительные трудности. Список работ, посвященных расчету круго-

днужт

вой конической оболочки постоянной толщины, находящейся под действием осесимметричной нагрузки довольно большой. Особенности подробного эта задача рассматривалась Дюбуа [38]. Вопросами приближенного решения осесимметричной задачи для круговой конической оболочки занимались З.Б. Канторович [14], С.Ривкин [28]. А.Ляром [24] рассмотрено решение задачи для круговой конической оболочки постоянной толщины, находящейся под произвольной нагрузкой. Этот же вопрос рассматривается в диссертациях [21], [30] и в монографии А.Л.Гольденвейзера [7].

Коническая часть диска колеса представляет собой круговую коническую оболочку с линейно изменяющейся толщиной. Рассматривалось ли решение задачи для такой оболочки при несимметричном краевом нагружении – нам неизвестно. Что касается асимметричной задачи для круговой конической оболочки переменной толщины следует отметить работу Мейснера [40], где показано, что интегрирование дифференциальных уравнений для круговой конической оболочки с толщиной, пропорциональной расстоянию от оси вращения, может быть выполнено в элементарных функциях и работу Григорюка [9]. Учитывая громоздкость приближенных методов, развитых в ряде работ [7], [20], [21], [24], [30], для оболочек постоянной толщины и возможность внесения в расчет дополнительной погрешности при применении приближенных методов мы решили встать на путь интегрирования дифференциальных уравнений оболочки переменной толщины в рядах.

В работе /глава II/ рассмотрена также задача определения напряжений в диске колеса, возникающих при напрессовке ступицы из ось.

Учитывая громоздкость вычислений, связанных с аналитическим определением напряжений в диске колеса, автором была разработана программа для решения этой задачи на цифровой вычислительной машине "Урал-Г". Описанию этой программы посвящена глава третья.

В четвертой главе приводятся результаты, полученные при решении задачи на вычислительной машине для ряда колес и проводится анализ полученных результатов. В этой же главе проводится сравнение величин напряжений, определенных теоретическим и экспериментальным путями.

днужт

## ГЛАВА 1

### ЭЛЕМЕНТЫ ТЕОРИИ ОБОЛОЧЕК

#### §1 Криволинейные координаты

Значения трех функций  $f_1(x, y, z) = q_1$ ;  $f_2(x, y, z) = q_2$ ;  $f_3(x, y, z) = q_3$  называются криволинейными /гауссовыми/ координатами точки  $M(x, y, z)$ , если для каждой тройки чисел  $q_1 \cdot q_2 \cdot q_3$  система уравнений

$$\left. \begin{array}{l} f_1(x, y, z) = q_1, \\ f_2(x, y, z) = q_2, \\ f_3(x, y, z) = q_3 \end{array} \right\} \quad /1/$$

имеет единственное решение.

Координата  $q_1$  сохраняет постоянное значение на каждой из поверхностей семейства  $f_1(x, y, z) = C$ .

Поверхность принадлежащую этому семейству назовем координатной поверхностью  $q_1 = \text{const}$ .

Аналогично определяются координатные поверхности  $q_2 = \text{const}$  и  $q_3 = \text{const}$ . Две координатные поверхности  $q_2 = \text{const}$  и  $q_3 = \text{const}$  пересекаются по кривой вдоль которой имеется только координата  $q_1$ . Такие линии назовем линиями  $q_1$ . Аналогично определяются линии  $q_2$  и линии  $q_3$ .

Предполагая непрерывность и дифференцируемость функции  $f_1(x, y, z) = q_1$ ,  $f_2(x, y, z) = q_2$ ,  $f_3(x, y, z) = q_3$  можно показать, что при предположении выше однозначной разрешимости система /1/ определяет тройку непрерывных, дифференцируе-

днужт

мнх функций:

$$\left. \begin{array}{l} x = \varphi_1(q_1, q_2, q_3), \\ y = \varphi_2(q_1, q_2, q_3), \\ z = \varphi_3(q_1, q_2, q_3). \end{array} \right\} /2/$$

Пусть  $\bar{i}$ ,  $\bar{j}$ ,  $\bar{k}$  единичные векторы декартовых осей координат, а  $\bar{r}$  радиус вектор точек  $M(x, y, z) \equiv M(q_1, q_2, q_3)$ . Тогда

$$\bar{r} = x\bar{i} + y\bar{j} + z\bar{k}$$

или, подставляя сюда  $x$ ,  $y$  и  $z$ , получим

$$\bar{r} = \bar{i} \cdot \varphi_1(q_1, q_2, q_3) + \bar{j} \cdot \varphi_2(q_1, q_2, q_3) + \bar{k} \cdot \varphi_3(q_1, q_2, q_3), /3/$$

т.е. радиус выражается как функция криволинейных координат  $q_1$ ,  $q_2$ ,  $q_3$ .

Из /3/ следует, что

$$d\bar{r} = \frac{\partial \bar{r}}{\partial q_1} dq_1 + \frac{\partial \bar{r}}{\partial q_2} dq_2 + \frac{\partial \bar{r}}{\partial q_3} dq_3.$$

Так, как, согласно определению частной производной,

$\frac{\partial \bar{r}}{\partial q_i}$  означает производную от  $\bar{r}$  при постоянных  $q_1$  и  $q_2$ , то конец вектора  $\bar{r}$  при изменении  $q_1$  описывает линию  $q_1$  и, следовательно,  $\frac{\partial \bar{r}}{\partial q_1}$  направлен по касательной к линии  $q_1$ , а векторы  $\frac{\partial \bar{r}}{\partial q_2}$  и  $\frac{\partial \bar{r}}{\partial q_3}$  — по касательным к линиям  $q_2$  и  $q_3$  соответственно.

Обозначив модули производных  $\frac{\partial \bar{r}}{\partial q_i}$  через  $A_i$  ( $i=1,2,3$ ) и введя единичные векторы криволинейных координат  $\bar{e}_i$ ,

ДнУЖТ

$\bar{e}_2, \bar{e}_3$  можно написать

$$\frac{\partial \bar{e}}{\partial q_i} = A_i \bar{e}_i . \quad (i=1, 2, 3)$$

/4/

Величины  $A_i$  называются параметрами Ляме. В дальнейшем мы будем предполагать, что система координат ортогональна и что тройка ортов  $\bar{e}_1, \bar{e}_2, \bar{e}_3$  в указанном порядке образует правую тройку, т.е.

$$\bar{e}_3 = \bar{e}_1 \times \bar{e}_2 .$$

/5/

Из /4/, /5/ и тождество

$$\frac{\partial^2 \bar{e}}{\partial q_k \partial q_\ell} = \frac{\partial^2 \bar{e}}{\partial q_\ell \partial q_k} \quad /k, \ell = 1, 2, 3/$$

вытекают важные формулы дифференцирования:

$$\frac{\partial \bar{e}_1}{\partial q_1} = - \frac{\partial A_1}{A_2 \partial q_2} \bar{e}_2 - \frac{1}{A_3} \frac{\partial A_1}{\partial q_3} \bar{e}_3 , \quad \left. \begin{array}{l} \overrightarrow{1, 2, 3} \\ \overleftarrow{ } \end{array} \right\}$$

$$\frac{\partial \bar{e}_2}{\partial q_2} = \frac{1}{A_1} \frac{\partial A_2}{\partial q_1} \bar{e}_1 , \quad \left. \begin{array}{l} \overrightarrow{1, 2, 3} \\ \overleftarrow{ } \end{array} \right\} /6/$$

$$\frac{\partial \bar{e}_3}{\partial q_3} = \frac{1}{A_1} \frac{\partial A_3}{\partial q_1} \bar{e}_1 \quad \left. \begin{array}{l} \overrightarrow{1, 2, 3} \\ \overleftarrow{ } \end{array} \right\}$$

Здесь и далее символ  $\overrightarrow{1, 2, 3}$  означает, что невыписанные формулы получаются из приведенных круговой перестановкой индексов.

Следует заметить, что три параметра Ляме  $A_1, A_2, A_3$  не независимы. Их производные удовлетворяют следующим шести дифференциальным уравнениям совместности, впер-

днужт

вие найденными лине:

$$\left. \begin{aligned} \frac{\partial}{\partial q_1} \left[ \frac{\partial A_2}{A_1 \partial q_1} \right] + \frac{\partial}{\partial q_2} \left[ \frac{\partial A_1}{A_2 \partial q_2} \right] + \frac{\partial A_1}{A_3 \partial q_3} \cdot \frac{\partial A_2}{A_3 \partial q_3} &= 0, \\ \frac{\partial}{\partial q_1} \left[ \frac{\partial A_3}{A_2 \partial q_1} \right] - \frac{\partial A_1}{A_2 \partial q_2} \cdot \frac{\partial A_3}{A_1 \partial q_1} &= 0. \end{aligned} \right\} \quad \begin{matrix} 1, \overrightarrow{2,3} \\ 1, \overleftarrow{2,3} \end{matrix} \quad /7/$$

Последние три соотношения можно записать еще в виде

$$\frac{\partial}{\partial q_1} \left[ \frac{\partial A_2}{A_3 \partial q_3} \right] - \frac{\partial A_1}{A_3 \partial q_3} \cdot \frac{\partial A_2}{A_1 \partial q_1} = 0. \quad /7a/$$

Соотношения /7/ легко получить из формул дифференцирования /6/, учитывая тождество

$$\frac{\partial^2 \bar{e}_i}{\partial q_k \partial q_\ell} = \frac{\partial^2 \bar{e}_i}{\partial q_\ell \partial q_k}. \quad /i, k, \ell = 1, 2, 3/$$

Легко получить также выражения для градиента скалярной  $\varphi$ -ии, и расходления и вихря вектор-функции в ортогональных криволинейных координатах. А именно

$$\text{grad } \varphi = \frac{\partial \varphi}{\partial x} \bar{i} + \frac{\partial \varphi}{\partial y} \bar{j} + \frac{\partial \varphi}{\partial z} \bar{k} = \sum_{i=1}^3 \frac{\partial \varphi}{A_i \partial q_i} \bar{e}_i,$$

$$\begin{aligned} \text{div } \bar{a} &= \frac{\partial a_x}{\partial x} + \frac{\partial a_y}{\partial y} + \frac{\partial a_z}{\partial z} = \\ &= \frac{1}{A_1 A_2 A_3} \left[ \frac{\partial A_2 A_3 a_1}{\partial q_1} + \frac{\partial A_3 A_1 a_2}{\partial q_2} + \frac{\partial A_1 A_2 a_3}{\partial q_3} \right], \end{aligned} \quad /8/$$

$$\begin{aligned} \text{rot } \bar{a} &= \bar{i} \left[ \frac{\partial a_z}{\partial y} - \frac{\partial a_y}{\partial z} \right] + \bar{j} \left[ \frac{\partial a_x}{\partial z} - \frac{\partial a_z}{\partial x} \right] + \bar{k} \left[ \frac{\partial a_y}{\partial x} - \frac{\partial a_x}{\partial y} \right] = \\ &= \frac{1}{A_2 A_3} \left[ \frac{\partial A_3 a_3}{\partial q_2} - \frac{\partial A_2 a_2}{\partial q_3} \right] \bar{e}_1 + \frac{1}{A_3 A_1} \left[ \frac{\partial A_1 a_1}{\partial q_3} - \frac{\partial A_3 a_3}{\partial q_1} \right] \bar{e}_2 + \end{aligned}$$

Днуж

$$+ \frac{1}{A_1 A_2} \cdot \left[ \frac{\partial A_2 a_2}{\partial q_1} - \frac{\partial A_1 a_1}{\partial q_2} \right],$$

где  $a_1$ ,  $a_2$ ,  $a_3$  проекции вектора  $\bar{a}$  на орты  $\bar{e}_1$ ,  $\bar{e}_2$ ,  $\bar{e}_3$ .

### 9.2. Геометрические соотношения на оболочке

Оболочкой называется тело, ограниченное двумя поверхностями, расстояние между которыми мало по сравнению с другими размерами этого тела.

Геометрическое место точек, равноудаленных от обеих ограничивающих поверхностей, называется срединной поверхностью оболочки.

Отрезок нормали к срединной поверхности, заключенный между ограничивающими поверхностями, называется нормальным элементом, а его длина толщиной оболочки.

Соотношения теории оболочек принимают наиболее простой вид в криволинейной ортогональной системе координат, для которой срединная поверхность является координатной поверхностью, а нормали к ней координатными линиями. Но в этом случае, по теореме Дюпена [27] в триортогональных системах поверхностей, координатные линии будут линиями кривизны координатных поверхностей. Поэтому, оттесим срединную поверхность к си-

днужт

системе криволинейных ортогональных координат  $q_1 \cdot q_2$  , координаты линии которой совпадают с линиями кривизны срединной поверхности, а орты  $\bar{e}_1$  и  $\bar{e}_2$  вместе с ортом  $\bar{e}_3$  , направленным по внешней нормали, образуют правую тройку.

Тогда положение произвольной точки  $M'$  , /рис.2/ лежащей на нормали  $MM'$  , определяется заданием координат  $q_1 \cdot q_2$  основания нормали  $M$  и расстояния  $z$  точки  $M'$  от срединной поверхности /положительного, если точка  $M'$  лежит на внешней нормали/.

В дальнейшем всюду, где речь идет об оболочке, мы будем предполагать, что она отсекена именно к такой системе координат. При этом координату  $q_3 = z$  будем обозначать через  $z$  и все обозначения величин, относящихся к точкам с координатой  $z \neq 0$  , будем спаивать верхним индексом  $z$  . Так, например, если некоторая точка  $M$  срединной поверхности имеет радиус вектор  $\bar{r}$  , то произвольная точка нормального элемента  $MM'$  будет иметь радиус вектор /рис.2/

$$\bar{r}^z = \bar{r} + z \bar{e}_3 .$$

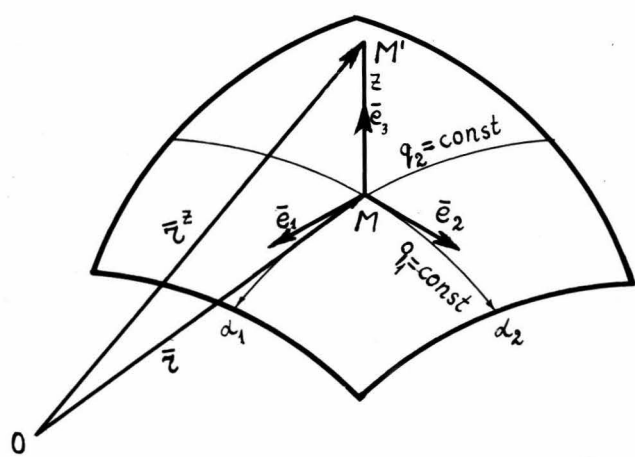
/9/

Дифференцируя /9/ по  $q_1$  и  $q_2$  получим

$$\left. \begin{aligned} A_1^z \bar{e}_1^z &= A_1 \bar{e}_1 + z \frac{\partial \bar{e}_3}{\partial q_1}, \\ A_2^z \bar{e}_2^z &= A_2 \bar{e}_2 + z \frac{\partial \bar{e}_3}{\partial q_2}, \end{aligned} \right\} \quad /10/$$

где  $A_1^z$  и  $A_2^z$  параметры Ламе в точке с координатой

ДнУЖТ



1396

Рис. 2

днужт

Пусть далее  $\frac{1}{R_1}$  и  $\frac{1}{R_2}$  кривизны нормальных сечений по направлению координатных линий  $q_1$  и  $q_2$ , являющихся линиями кривизны. Тогда из теоремы Родрига [27] следует, что

$$\left. \begin{aligned} \frac{\partial \bar{e}_3}{A_1 \partial q_1} &= \frac{1}{R_1} \bar{e}_1, \\ \frac{\partial \bar{e}_3}{A_2 \partial q_2} &= \frac{1}{R_2} \bar{e}_2. \end{aligned} \right\} /11/$$

Учитывая /11/ соотношения /10/ можно переписать следующим образом

$$\left. \begin{aligned} A_1^2 \bar{e}_1^2 &= A_1 \left(1 + \frac{z}{R_1}\right) \bar{e}_1, \\ A_2^2 \bar{e}_2^2 &= A_2 \left(1 + \frac{z}{R_2}\right) \bar{e}_2. \end{aligned} \right\} /12/$$

Отсюда следует, что

$$\left. \begin{aligned} A_1^2 &= A_1 \left(1 + \frac{z}{R_1}\right), \\ A_2^2 &= A_2 \left(1 + \frac{z}{R_2}\right). \end{aligned} \right\} /13/$$

А также

$$\left. \begin{aligned} \bar{e}_1^2 &= \bar{e}_1, \\ \bar{e}_2^2 &= \bar{e}_2 \end{aligned} \right\} /14/$$

$\bar{e}_3^2 = \bar{e}_3$  доказывает, что введение таким образом криволинейные координаты  $q_1 \cdot q_2 \cdot q_3 = z$  действительно ортогональны.

Поверхности  $z = \text{const}$  эквидистантны срединной поверхности  $z = 0$ . Параметры Лиме  $A_1^2$  и  $A_2^2$  ( $A_3^2 = A_3 = 1$ ) в точках поверхности  $z = \text{const}$  определяются значениями параметров Лиме на срединной поверхности и кривизнами ее нормальных сечений  $\frac{1}{R_1}$  и  $\frac{1}{R_2}$  по формулам /13/.

Координаты линии  $q_1$  и  $q_2$  являются линиями кривизны на любой эквидистантной поверхности. Поэтому

$$\left. \begin{aligned} \frac{\partial \bar{e}_3}{\partial q_1} &= \frac{1}{R_1^2} \bar{e}_1, \\ \frac{\partial \bar{e}_3}{\partial q_2} &= \frac{1}{R_2^2} \bar{e}_2. \end{aligned} \right\} /15/$$

Но тогда в силу /11/ и /13/ получим

$$\left. \begin{aligned} \frac{1}{R_1^2} &= \frac{1}{R_1 + z}, \\ \frac{1}{R_2^2} &= \frac{1}{R_2 + z}. \end{aligned} \right\} /16/$$

Соотношения /12/ и условие  $A_3^2 = A_3 = 1$  позволяют представить формулы дифференцирования /6/ в следующей форме

$$\left. \begin{aligned} \frac{\partial \bar{e}_1}{\partial q_1} &= - \frac{\partial A_1}{\partial q_2} \bar{e}_2 - \frac{A_1}{R_1} \bar{e}_3, \\ \frac{\partial \bar{e}_1}{\partial q_2} &= \frac{\partial A_2}{\partial q_1} \bar{e}_2, \end{aligned} \right\} /17/$$

днужт

$$\left. \begin{aligned} \frac{\partial \bar{e}_2}{\partial q_1} &= \frac{\partial A_1}{A_2 \partial q_2} \bar{e}_1, \\ \frac{\partial \bar{e}_2}{\partial q_2} &= - \frac{\partial A_2}{A_1 \partial q_1} \bar{e}_1 - \frac{A_2}{R_2} \bar{e}_3, \\ \frac{\partial \bar{e}_3}{\partial q_1} &= \frac{A_1}{R_1} \bar{e}_1, \\ \frac{\partial \bar{e}_3}{\partial q_2} &= \frac{A_2}{R_2} \bar{e}_2, \\ \frac{\partial \bar{e}_1}{\partial z} &= \frac{\partial \bar{e}_2}{\partial z} = \frac{\partial \bar{e}_3}{\partial z} = 0. \end{aligned} \right\} /17/$$

Формулы /17/ справедливы и при слаблении величин  $A_1$ ,  $A_2$ ,  $R_1$ ,  $R_2$  индексом  $z$ , т.е. если они относятся к произвольной точке оболочки. Использование этого очевидного замечания приводит к двум соотношениям Кодадци в линиях кривизны

$$\left. \begin{aligned} \frac{\partial A_1}{\partial q_2} &= R_2 \frac{\partial \frac{A_1}{R_1}}{\partial q_1}, \\ \frac{\partial A_2}{\partial q_1} &= R_1 \frac{\partial \frac{A_2}{R_2}}{\partial q_2}. \end{aligned} \right\} /18/$$

Соотношения Кодадци в линиях кривизны /18/, а также соотношение Гаусса для полной кривизны можно получить также из соотношений Ляме /7/.

Документ

### § 3. Поступательное, поворотное и деформационное перемещения

Под действием приложенных сил или при изменении теплового состояния изменяются расстояния между частичами твердого тела или, как принято говорить, тело деформируется. Возьмем произвольную точку тела  $M(q_1, q_2, q_3)$ , где  $q_1 = q_2 = q_3$  — криволинейные координаты точки  $M$  в некоторой ортогональной системе координат до деформации. После деформации эта точка займет положение  $M_1$ . Вектор  $\overline{MM_1}$  представляет перемещение точки  $M$  при деформации. Обозначив через  $u$ ,  $v$ ,  $w$  проекции вектора  $\overline{MM_1}$  /рис. 3/ на координатные оси  $\bar{e}_1$ ,  $\bar{e}_2$ ,  $\bar{e}_3$ , мы получим

$$\bar{P} = u\bar{e}_1 + v\bar{e}_2 + w\bar{e}_3. \quad /19/$$

Перемещение  $\bar{P}$  является векторфункцией точки и его задание равносильно заданию трех скалярных функций

$$u = u(q_1, q_2, q_3),$$

$$v = v(q_1, q_2, q_3),$$

$$w = w(q_1, q_2, q_3).$$

Если тело при деформации не терпит разрывов, то эти функции будут непрерывными, мы будем также предполагать непрерывность частных производных этих функций.

В курсах теоретической механики доказывается, что любое перемещение абсолютно твердого тела можно представить как сумму поступательного перемещения, совпада-

днужт

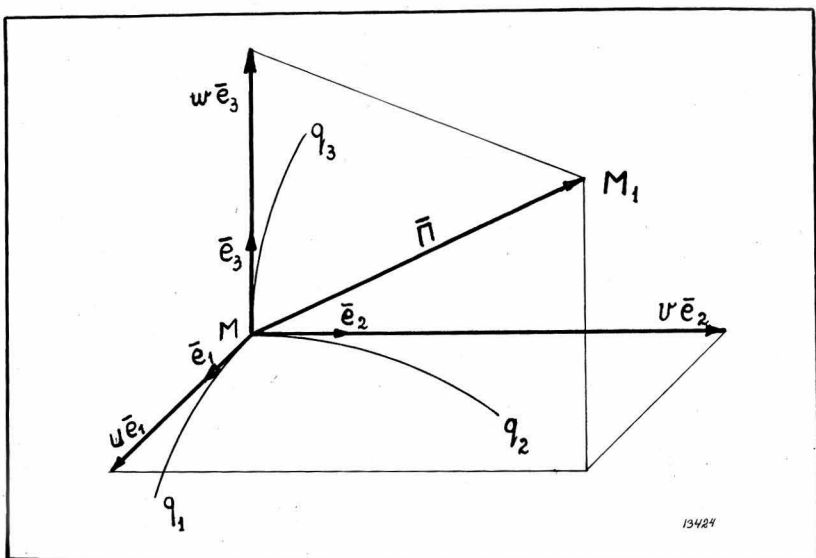


Рис. 3.

днужт

щего с перемещением произвольно выбранного полюса 0, и поворотного перемещения вокруг оси проходящей через полюс 0. Так что /рис.4/

$$\bar{\Pi} = \bar{\Pi}_0 + \overline{\sin \alpha} \times \bar{r} + 2 \overline{\sin \frac{\alpha}{2}} \times \left[ \overline{\sin \frac{\alpha}{2}} \times \bar{r} \right], \quad /20/$$

где  $\bar{\Pi}_0$  - перемещение полюса 0.

$\alpha$  - угол поворота, который не больше  $\pi$ .

$\overline{\sin \alpha}, \overline{\sin \frac{\alpha}{2}}$  - векторы по модулю равные  $\sin \alpha$  и  $\sin \frac{\alpha}{2}$  соответственно и направление по оси поворота так, что из их концов поворот виден против часовой стрелки,

$\bar{r} = \bar{OM}$  - радиус вектор точки M относительно полюса 0.

$\bar{\Pi}$  - перемещение точки M.

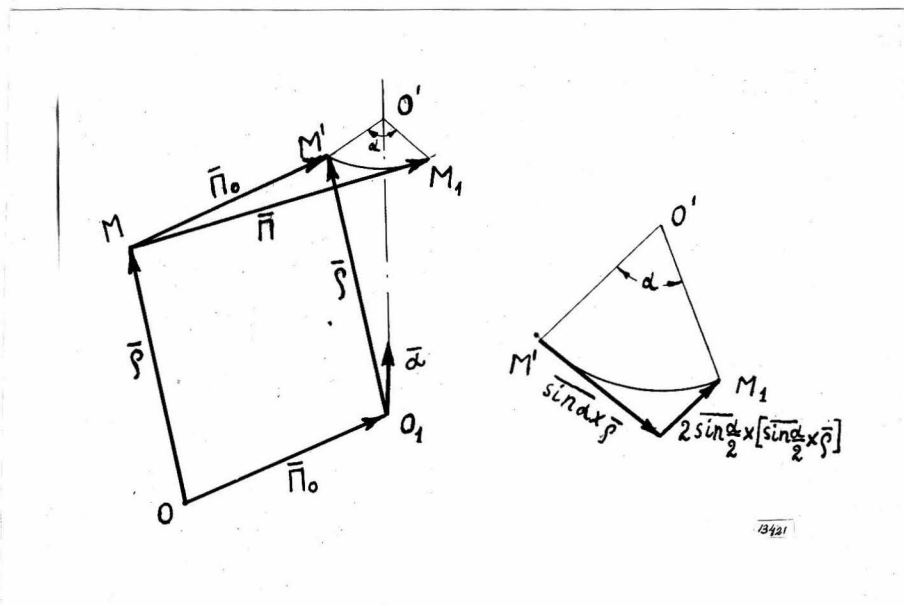
Можно доказать, что

$$\overline{\sin \alpha} = \frac{1}{2} \text{rot} \bar{\Pi}. \quad /21/$$

Из формулы /21/ видно, что вихрь перемещения абсолютно твердого тела по модулю не больше двух.

Выражение /20/ наводит на мысль, при изучении деформаций в окрестности некоторой точки 0, разложить перемещение деформируемого тела на поступательное, совпадающее с перемещением точки 0, поворотное, характеризующее поворот окрестности точки 0, как недеформирующейся среды и деформационное, характеризующее деформации окрестности точки 0. Очевидно это разложение

днужт



Puc. 4.

# Днужт

ние должно перейти в разложение /20/, если деформации нет. Для этого необходимо угол  $\alpha$  определять так, чтобы удовлетворялось /21/, что возможно при выполнении условия

$$|\operatorname{rot} \bar{\Pi}| \leq 2 \quad /22/$$

Вообще говоря для произвольной функции  $\bar{\Pi}$  соотношение /24/ не выполняется. Но такие случаи не представляют интереса, они, как показывает анализ, соответствуют очень больших деформациям. С точки же зрения малых деформаций, такое разложение представляет большой интерес.

Поэтому мы сформулируем следующее утверждение о разложении перемещений деформируемого тела.

Перемещение деформируемого тела в окрестности произвольной точки  $O$  можно представить как сумму поступательного перемещения, совпадающего с перемещением точки  $O$ , поворотного перемещения вокруг оси проходящей через точку  $O$  и направлений по вихрю перемещения в точке  $O$  и деформационного перемещения  $\bar{\Pi}_g$ , если только выполняется условие /22/.

днужт

#### § 4. Деформационное перемещение и деформации при малых перемещениях

Если поворотные перемещения малы и в выражении поворотного перемещения можно пренебречь членами порядка  $\sin^2 \frac{\alpha}{2}$  ( $\sin^2 \frac{\alpha}{2} \ll |\sin \alpha|$ ), мы в силу /20, 21/ получим следующее выражение для определения деформационного перемещения в окрестности произвольной точки 0.

$$\bar{\Pi}_g = \bar{\Pi} - \bar{\Pi}_0 - \frac{1}{2} \text{rot} \bar{\Pi} \times \bar{r}. \quad /23/$$

Учитывая, что

$$\bar{\Pi} - \bar{\Pi}_0 = (\bar{r} \nabla) \bar{\Pi} + \bar{\varepsilon}(\rho^2) = \xi \frac{\partial \bar{\Pi}}{\partial q_1} + \eta \frac{\partial \bar{\Pi}}{\partial q_2} + \zeta \frac{\partial \bar{\Pi}}{\partial q_3} + \bar{\varepsilon}(\rho^2),$$

где

$\xi, \eta, \zeta$  - составляющие вектора  $\bar{r} = \bar{OM}$  по координатным осям  $\bar{e}_1, \bar{e}_2, \bar{e}_3$ .

$\bar{\varepsilon}(\rho^2)$  - бесконечно малая порядка не выше  $\rho^2$ , и воспользовавшись выражением для  $\text{rot} \bar{\Pi}$  /8/, мы, пренебрегая членами  $\bar{\varepsilon}(\rho^2)$ , после нескольких преобразований получим следующее выражение для деформационного перемещения малой окрестности точки 0.

$$\begin{aligned} \bar{\Pi}_g = & (\xi \varepsilon_1 + \frac{1}{2} \gamma_{12} \eta + \frac{1}{2} \gamma_{13} \zeta) \bar{e}_1 + \\ & + (\frac{1}{2} \gamma_{12} \xi + \varepsilon_2 \eta + \frac{1}{2} \gamma_{23} \zeta) \bar{e}_2 + \\ & + (\frac{1}{2} \gamma_{13} \xi + \frac{1}{2} \gamma_{23} \eta + \varepsilon_3 \zeta) \bar{e}_3, \end{aligned} \quad /24/$$

где

днужт

## ОГЛАВЛЕНИЕ

Введение .....	2
ГЛАВА I. Элементы теории оболочек	
§I. Криволинейные координаты .....	I 0
§2. Геометрические соотношения на оболочке .....	14
§ 3. Поступательное, поворотное и деформационное перемещения .....	20
§4. Деформационное перемещение и деформации при малых перемещениях .....	25
§5. Малые перемещения и деформации с сохранением нормалей .....	29
§6. Основная гипотеза теории оболочек .....	35
§7. Усилия и моменты .....	37
§8. Дифференциальные уравнения равновесия оболочки	46
§9. Границные условия и условия сопряжения .....	52
ГЛАВА II.	
§I0. Расчетная схема и выбор системы координат ..	58
§II. Дифференциальные уравнения деформации .....	65
§I2. Интегрирование системы дифференциальных уравнений деформации .....	73
§I3. Определение напряжений в диске от действия вертикальной и боковой нагрузок .....	94
§I4. Определение напряжений в диске, возникающих при напрессовке ступицы на ось .....	101
ГЛАВА III. Решение задачи на универсальной автоматической цифровой вычислительной машине "Урал-1".	
§I5. Общая характеристика программы .....	III3
§I6. Особенности алгоритма .....	III5
§I7. Алгоритм решения .....	I21

днужт

## ГЛАВА IV. Результаты аналитического исследования

§18. Сходимость рядов, которыми представляются напряжения в диске колеса . . . . .	134
§19. Форма и основные размеры колес, напряжение состояния которых изучалось аналитически . . .	137
§20. Экспериментальное подтверждение результатов теоретического исследования . . . . .	139
§21. Расчетные и экспериментальные величины напряжений, возникающих в диске при непрессовке колеса на ось . . . . .	150
§22. Влияние толщины диска колеса на величину возникающих в диске напряжений . . . . .	153
§23. Влияние смещения обода на величину напряжений в диске колеса . . . . .	157
§24. Сравнение напряжений в дисках колес различной конструкции . . . . .	162
Выводы . . . . .	165
Литература . . . . .	167



ДНУЖТ

Днужт